

## ارزیابی تنوع ژنتیکی جدایه‌های *Pseudomonas syringae* pv. *syringae* عامل شانکر باکتریایی درختان میوه هسته‌دار در چند استان شمالی ایران\*

### THE ASSESSMENT OF GENETIC DIVERSITY OF STRAINS OF *Pseudomonas syringae* pv. *syringae* CAUSING BACTERIAL CANKER IN STONE FRUITS IN SOME NORTHERN PROVINCES OF IRAN

واله عباسی\*\*، حشمت الله رحیمیان، محمدعلی تاجیک قنبری و وحید رضاییان

(تاریخ دریافت: ۱۳۸۸/۱۱/۵؛ تاریخ پذیرش: ۱۳۹۰/۲/۱)

#### چکیده

باکتری *Pseudomonas syringae* pv. *syringae* (*Pss*) عامل بیماری‌های بسیاری روی محصولات زراعی و باگی می‌باشد یکی از مهم‌ترین بیماری‌های ناشی از این باکتری شانکر، لکه برگی و نکروز پوست در درختان میوه هسته‌دار (هلو، شلیل، زردآلو، آلو و گیلان) است. به منظور بررسی همسانی یا تنوع جدایه‌های عامل بیماری، طی سال‌های ۱۳۸۶-۱۳۸۸ از باغات درختان میوه هسته‌دار واقع در مناطق مختلف استان‌های اردبیل، گیلان، مازندران و خراسان رضوی نمونه‌برداری صورت گرفت. باکتری‌های جدایه از بافت‌های آلووده جوانه، برگ، شاخه و تنه بر اساس آزمون‌های گروه *Pss*، GATTa و LOPAT و شناسایی شدند. تعداد ۷۰ جدایه مورد بررسی‌های فنوتیپی (مورفوولوژیکی، فیزیولوژیک و بیوشیمیایی) و الکتروفورز پروتئین‌های سلولی (SDS-PAGE) قرار گرفتند. جدایه‌ها از نظر خصوصیات فنوتیپی و الگوی بروتئین‌های سلولی اختلاف‌های جزئی نشان دادند. جهت ارزیابی تنوع ژنتیکی، DNA ژنومی جدایه‌ها استخراج و در واکنش زنجیره‌ای پلیمراز (rep-PCR) با استفاده از آغازگرهای ERIC و REP بررسی شد. آنالیز خوش‌های نتایج به دست آمده نشان داد که در ERIC-PCR در سطح تشابه ۷۵ درصد، جدایه‌ها به ۸ گروه و با REP-PCR به ۵ گروه و با ترکیب همه آغازگرهای به ۹ گروه تقسیم شدند. نتایج نشانگر وجود تنوع ژنتیکی درون جدایه‌های *Pss* عامل بیماری شانکر درختان میوه هسته‌دار بود.

واژه‌های کلیدی: شانکر باکتریایی، *Pseudomonas syringae* pv. *syringae*، تنوع ژنتیکی، درختان میوه هسته‌دار

\*: بخشی از پایان نامه کارشناسی ارشد نگارنده اول ارائه شده به دانشکده علوم زراعی، دانشگاه علوم کشاورزی و منابع طبیعی ساری

\*\*: مسئول مکاتبات، پست الکترونیکی: valeh\_abasi@yahoo.com

۱. به ترتیب دانشجوی سابق کارشناسی ارشد، استاد، استادیار و کارشناس گیاه پژوهشی، دانشکده علوم زراعی دانشگاه علوم کشاورزی و منابع طبیعی ساری

## مقدمه

بیماری‌زای گیاهی دچار دگرگونی شده است و براساس توالی‌های کاملاً حفظ شده، نیمه حفظ شده و کاملاً متغیر باکتریایی آغازگرهای طراحی شده‌اند که در تشخیص کاربرد دارند (Hayward 1996). توالی‌های تکراری کاربرد دارند که به طور طبیعی در ژنوم باکتری‌ها پراکنده هستند، می‌توانند به عنوان جایگاهی برای تکثیر DNA ژنومی به کار روند. سه گروه از توالی‌های تکراری REP، ERIC و BOX با جزئیات بیشتر مورد مطالعه قرار گرفته‌اند که با طراحی آغازگرهایی براساس این توالی‌های تکراری و متمم‌هایی تحت عنوان REP-PCR، ERIC-PCR و BOX-PCR (rep-PCR) ارائه شده‌اند که منجر به تکثیر نواحی اختصاصی ژنوم می‌گردد و الگوی ژنومی به دست آمده از این روش‌ها باعث تولید و تمایز قطعاتی با اندازه‌های مختلف DNA ژنوم اختصاصی جدایه می‌گردد که به عنوان بارکد برای هر جدایه خاص بکار می‌رود (Louws *et al.* 1994).

توالی‌های خارج ژنی پالیندرومی (REP)، توالی‌های تکراری ۳۳ تا ۴۰ نوکلئوتیدی از دو سر متقارن (Palindromic) هستند. این توالی‌ها در حدود ۵۰۰ تا ۱۰۰۰ بار در ژنوم باکتری تکرار می‌شوند و حدود ۱ درصد از ژنوم باکتری را شامل می‌شوند (Versalovic *et al.* 1994). توالی‌های تکرارشونده بین ژنی انترباکتریایی (ERIC) دارای ۱۲۴ تا ۱۲۷ جفت نوکلیوتیدی با یک توالی معکوس مرکزی حفظ شده هستند که در نواحی خارج ژنومی، ژنوم باکتری‌ها قرار می‌گیرند. این توالی‌ها اولین بار در ژنوم باکتری‌های فوق‌الذکر و دیگر باکتری‌های گرم منفی کشف گردید که تقریباً ۳۰ تا ۱۵۰ بار در ژنوم باکتری تکرار می‌شود (Versalovic *et al.* 1994). با توجه به اهمیت Pss و امکان اختصاصی بودن دامنه میزانی در بین جدایه‌های این باکتری، ارزیابی تنوع ژنتیکی

شانکر باکتریایی که به وسیله پاتووارهای *Pseudomonas syringae* ایجاد می‌گردد، یکی از مشکلات جدی و محدود کننده در احداث و حفاظت از باغات میوه هسته‌دار می‌باشد (Sulikowska & Sobiczewski 2008). باکتری *Pseudomonas syringae* pv. *syringae* قادر است به درختان هسته‌دار از قبیل هللو، شلیل، آلو، گیلاس، زردآلو و بادام خسارت قابل توجهی در حد ۷۵-۱۰ درصد بزند و عامل بیماری‌های متعددی روی محصولات زراعی و باگی می‌باشد (Agrios 2005). از عمده‌ترین بیماری‌های ایجاد شده توسط این پاتووار می‌توان به شانکر باکتریایی درختان زردآلو (Bahar *et al.* 1985)، شانکر درختان گیلاس (Banapoor *et al.* 1990)، بلایت گندم و جو (Rahimian 1989) و نوار قرمز نیشکر (Rahimian 1994) اشاره کرد.

اعضای متعلق به جنس *Pseudomonas* گرم منفی، میله‌ای یا استوانه‌ای خمیده با ابعاد  $0.5-4.0 \times 0.5-1.0$  میکرومتر می‌باشد که سلول‌های آن توانایی حرکت به وسیله یک یا چندین تازک قطبی را دارند و درصد G+C در آنها ۵۸-۷۱ درصد می‌باشد. این باکتری کاتالاز مثبت و اکسیداز منفی بوده و اکثر گونه‌ها بجز *Pseudomonas. syringae*. pv. *persica* استرین‌های KB تولید رنگ فلورسنت می‌کنند (Schaad *et al.* 2001). یکی از مهم‌ترین دلایل عدم موفقیت در مدیریت بیماری‌های گیاهی، ناقص بودن اطلاعات ما در مورد ساختار ژنتیکی جمعیت بیمارگرها می‌باشد و بالابردن اطلاعات در این زمینه در اتخاذ روش‌های موثر کنترل و استراتژی کنترل کارامدتر خواهد بود (Martin & English 1997). در دو دهه اخیر با گسترش استفاده از روش‌های مولکولی، تشخیص و طبقه‌بندی پروکاریوت‌های

کمی بیشتر با جدایه‌های سوختگی برگ گندم دسته‌بندی می‌شوند. تحقیق حاضر به منظور بررسی چگونگی جمعیت Pss عامل شانکر باکتریایی درختان مختلف میوه هسته‌دار در مناطق شمالی کشور از جمله استان‌های اردبیل، گیلان، مازندران و خراسان رضوی با استفاده از نشانگرهای ERIC و BOX صورت گرفته است. این پژوهش با هدف ارزیابی تنوع ژنتیکی جدایه‌های Pss عامل شانکر درختان میوه هسته‌دار با استفاده از نشانگرهای REP و ERIC صورت پذیرفت.

## مواد و روش‌ها

### جداسازی، تشخیص و نگهداری جدایه‌ها

بین سال‌های ۱۳۸۶-۱۳۸۸ از باغات درختان میوه هسته‌دار واقع در مناطق مختلف استان‌های اردبیل (دشت مغان و مشکین شهر)، گیلان (آستانه، تالش و اسلام)، مازندران (ساری و نکا) و خراسان رضوی (نیشابور و سبزوار) نمونه‌برداری صورت گرفت. پس از بازدید از باغات هللو، شلیل، زردالو، گیلان، و آلو، از درختان دارای علائم لکه‌برگی و شانکر باکتریایی، نمونه‌هایی از بافت‌های آلدوده، برگ، تنه، شاخه و سرشاخه جمع‌آوری گردید و در داخل پاکت‌های کاغذی به آزمایشگاه منتقل شدند. نمونه‌ها در دمای  $4^{\circ}\text{C}$  نگهداری شدند. برای جداسازی باکتری، ابتدا برگ‌های دارای علائم لکه برگی نکروزه و شاخه‌های دارای شانکر در زیر جریان آب معمولی شسته شدند و سپس به مدت ۳ دقیقه در محلول هیپوکلریت سدیم  $3\%$  درصد قرار گرفتند. سپس با آب مقطر سترون دو بار شستشو شده و روی کاغذ صافی سترون خشک شدند. سپس از حدفاصل بافت سالم و آلدوده برگ و حاشیه شانکر روی شاخه قطعات ۱-۲ سانتی‌متری جدا و در تستک‌های

جمعیت‌های عامل شانکر باکتریایی می‌تواند به ارائه یک طبقه‌بندی استوار و محکم کند و امکان انتخاب جدایه‌ها و استفاده از آنها را در مطالعات آینده فراهم سازد (Versalovic *et al.* 1994). بررسی‌هایی در زمینه تنوع جمعیت‌های Pss عامل چند بیماری از جمله شانکر باکتریایی درختان میوه هسته‌دار، بلاست درختان میوه دانه‌دار، سوختگی (بلایت) برگ غلات، نوار قرمز نیشکر و لکه برگی چغندر قند در ایران صورت گرفته است. الامگی و همکاران با استفاده از ویژگی‌های فنوتیپی، سروولوژیکی و نقوش ایزوژیمی موفق به تفکیک جدایه‌های Pss عامل شانکر درختان میوه هسته‌دار از جدایه‌های مولد سوختگی برگ غلات شدند (Aldaghi *et al.* 2009). تفاوت‌های مختصه در نقوش الکتروفورزی پروتئین‌های سلولی در میان جدایه‌های درون هر گروه نیز وجود داشت.

در بررسی نحضی‌پور و تقوی (Pour & Najafi 2011) جدایه‌های عامل شانکر درختان میوه هسته‌دار، گل سرخ و یک جدایه از شمعدانی و یک جدایه از گونه‌ای Malva را براساس انگشت‌نگاری ژنتیکی با Box-PCR در یک گروه، جدایه‌های به دست آمده از دانه‌داران، یک جدایه شمعدانی، دو جدایه از هلло به همراه یک جدایه استاندارد در گروه دوم و جدایه‌های به دست آمده از غلات همراه با یک جدایه از چغندر و یک جدایه از هلло، در گروه سوم از سه گروه قرار گرفتند. موسیوند و همکاران (Moasivand *et al.* 2009) در rep-PCR با استفاده از آغازگرهای BOX، ERIC1، ERIC2 و rep-PCR با جدایه‌های شبه Pss مولد نوار قرمز نیشکر را از جدایه‌های عامل شانکر باکتریایی درختان میوه هسته‌دار و سوختگی برگ غلات متمایز سازند. در بررسی آنان جدایه‌های عامل لکه برگی ختمی خواب‌آلود (*Malvaviscus sp.*) به جدایه‌های درختان میوه هسته‌دار نزدیک بوده و در فاصله

از سوسپانسیون باکتری با غلظت  $10^7$  سلول در میلی‌لیتر روی سطح برگ‌ها پاشیده و روی نهال‌ها با کیسه‌های پلاستیکی پوشانده شد. جهت تأمین رطوبت کافی، سرشاره‌ها با آب پاش خیس شده و پوشش نایلونی روی آنها قرار داده شد. روی نهال‌های شاهد نیز به همان مقدار آب مقطر سترون پاشیده شد. گلدان‌ها در شرایط گلخانه با دمای  $25^\circ\text{C}$  نگهداری شدند (Mohammadi *et al.* 2001, Jones 1971

آزمون‌های فیزیولوژیکی، بیوشیمیایی و تغذیه‌ایی آزمون اکسیداز به روش کواکس (Kovacs 1956)، واکنش گرم، فعالیت کاتالاز، تولید لوان، فعالیت پکتوولیکی، هیدرولیز ژلاتین، اسکولین، آربوتین، نشاسته و تؤین  $80^\circ\text{C}$  رشد هوایی/بیهوایی، تولید اوره‌آز، احیای نیترات، رشد در نمک طعام  $5^\circ\text{C}$  درصد، تولید رنگدانه فلورستن، واکنش فوق حساسیت، تولید آرژنین‌دی‌هیدرولاز، رشد در دمای  $37^\circ\text{C}$  و آزمون توانایی استفاده از برخی منابع هیدروکربنی به روش شاد و همکاران (Schaad *et al.* 2001) انجام شد.

### الکتروفورز پروتئین‌های سلولی

جادیه‌ها روی محیط آگار مغذی کشت شدند و بعد از  $24^\circ\text{C}$  ساعت سوسپانسیونی از آنها در  $50^\circ\text{C}$  میکرولیتر آب مقطر تهیه و چگالی نوری (Optical density, OD) واحد OD در  $600\text{ nm}$  با اسپکتروفوتومتر تنظیم گردید. به منظور لیزیدن سلول‌ها، به اندازه  $1/10$  حجم، سدیم دودسیل سولفات (SDS)  $10^\circ\text{C}$  درصد به هر سوسپانسیون اضافه شد و به مدت  $4-5$  دقیقه در حمام بن‌ماری (دما  $50^\circ\text{C}$ ) قرار گرفتند. برای تخریب کامل دیواره سلولی باکتری‌ها، نمونه‌ها به مدت  $15$  ثانیه با دستگاه التراسونیک کاملاً همگن شده و در ادامه به مدت  $10$  دقیقه با سرعت

پتری به وسیله تیغ اسکالپل سترون خرد گردیده و چند قطره آب مقطر سترون به آنها اضافه شد. پس از  $15$  دقیقه، یک لوب از هر یک از سوسپانسیون‌های باکتریایی برداشته و روی محیط کشت آگار غذایی دارای  $5^\circ\text{C}$  درصد سوکروز (NAS) مختلط و به مدت  $48$  ساعت در دمای  $27^\circ\text{C}$  نگهداری شد تک پرگنه‌های به رنگ کرم و سفید و محدب انتخاب و مجدداً روی محیط آگار غذایی خالص گردیدند (Rademaker 2000). از باکتری‌های تازه کشت شده ( $24^\circ\text{C}$  ساعته) سوسپانسیون غلیظی در میکروتیوب‌های حاوی آب مقطر سترون تهیه و در دمای  $4^\circ\text{C}$  نگهداری شدند (Sands *et al.* 1970).

### آزمون اثبات بیماری‌زایی

آزمون واکنش فوق حساسیت در برگ‌های توتوون و شمعدانی براساس روش کلمنت و همکاران (Klement *et al.* 1974) انجام شد. آزمون بیماری‌زایی به روش تزریق سوسپانسیون در بافت گیاهی انجام شد (Thomidis *et al.* 2005). برای این منظور از نهال‌های یکساله هلو (رقم Springtime) و زردآلو (رقم حسین‌خانی) که از مرکز تهیه بذر و نهال مغان تهیه شده بود، استفاده شد. از کشت‌های  $1-2$  روزه جدایه‌های باکتریایی، سوسپانسیونی با غلظت  $10^\circ\text{C}$  سلول در میلی‌لیتر (براساس کدورت‌سنجدی با اسپکتروفوتومتر در طول موج  $600\text{ nm}$ ) تهیه و با استفاده از سرنگ انسولین  $10\text{ ml}$  میکرولیتر از سوسپانسیون به زیر پوست سرشاره‌های جوان و سالم هلو و زردآلو تزریق گردید.

برای اثبات بیماری‌زایی روی برگ، سرشاره‌های دارای برگ‌های سالم انتخاب شده و سطح برگ‌ها با پنبه آغشته به اتانول  $70^\circ\text{C}$  درصد ضد عفونی شدند. آنگاه به وسیله سوزن روی برگ‌ها زخم‌هایی ایجاد و سپس مقدار  $50\text{ ml}$  میکرولیتر

مینی ژل یک درصد آگاروز در ۷۰ ولت الکتروفورز و با اتیدیوم بروماید رنگ‌آمیزی شد. وجود یک باند با وزن مولکولی بالا و بدون کشیدگی در طول ژل به عنوان معیار مناسب بودن کیفیت DNA تلقی گردید.

**واکنش‌های زنجیره‌ای پلیمراز آغازگرها** (ERIC1R، ERIC2، REP1-I و REP2-I) Little & Gilbertson (Lupski & Weinstock 1992) و de Bruijn (1992 و 1997) ارسالی از شرکت سیناژن، تهران مورد استفاده قرار گرفتند. توالی آغازگرها در جدول ۱ آورده شده است. آغازگرها با افزودن آب دوبار تقطیر استریل به غلظت ۱۰ پیکومول رقیق و در دمای ۲۰°C-۲۵°C نگهداری شدند. واکنش زنجیره‌ای پلیمراز (۲۳ میکرولیتر) شامل ۰.۵ میکرومولار dNTPs (۰.۵ میکرولیتر از هریک از آغازگرهای ۰.۵ میکرومولار fdw rev ۰.۵ میکرولیتر dNTPs ۰.۲ میکلی مولار)، ۱ میکرولیتر محلول کلرید میکرولیتر بافو (PCR 10X)، ۰.۳ میکرولیتر محلول پلیمراز تک منیزیم ۱/۵ میلی مولار، ۰.۱ میکرولیتر محلول کلرید (Taq Polymerase) با غلظت ۲/۵ واحد در میکرولیتر، ۰.۱ میکرولیتر آب مقطر سترون و ۰.۱ میکرولیتر از DNA نمونه بود.

برنامه دمایی برای REP-PCR (Zhao et al. 2000) به صورت یک چرخه و اسرشت سازی اولیه در دمای ۹۵°C به مدت ۶ دقیقه و سپس ۳۰ چرخه با برنامه ۱ دقیقه در ۴۰°C، ۸ دقیقه در ۶۵°C و یک چرخه انتهایی به مدت ۱۶ دقیقه در دمای ۶۵°C و برنامه دمایی برای ERIC-PCR (Little et al. 1998) به صورت یک چرخه و اسرشت سازی اولیه در دمای ۹۴°C به مدت ۴ دقیقه و سپس ۳۵ چرخه با برنامه ۱ دقیقه در ۴۵°C، ۴۵ چرخه در ۵۰°C و ۲ دقیقه در ۷۰°C و

۱۰۰۰۰ دور در دقیقه سانتریفیوژ شدند. پس از برداشت لایه رویی، نصف حجم به آن گلیسیرین سترون اضافه شد و به عنوان پروتئین باکتری در چاهک‌های ژل مورد استفاده قرار گرفتند. الکتروفورز پروتئین در ژل پلی اکریل آمید با استفاده از سیستم ناپیوسته لملی (Laemmli 1970) با تغییرات مختصری توسط Rahimian (1994) صورت گرفت. غلظت آکریل آمید در ژل جداکننده ۱۰ درصد و در ژل متراکم کننده ۵ درصد بود. الکتروفورز در شدت جریان ثابت ۱۵ میلی آمپر انجام شد، سپس ژل در محلول ۰/۱ درصد کومازی بلو (آب، اسید استیک، متانول به نسبت ۵۰:۱۰:۱) شسته شد. سپس ژل در ۳ ساعت رنگ‌آمیزی و بعد به مدت ۱۵ دقیقه در همان محلول ولی بدون رنگ کومازی بلو رنگ بری و در اسید استیک ۷ دقیقه نگهداری شد.

### استخراج DNA ژنومی

استخراج DNA از سلول‌های باکتریایی به روش لیز قلیایی انجام شد (Arabi et al. 2006). بدین ترتیب جدایه‌ها روی محیط آگار مغذی کشت شده و بعد از ۲۴ ساعت سوسپانسیونی از آنها در ۵۰۰ میلی لیتر آب مقطر تهیه گردید. به منظور لیزشدن سلول‌ها، به اندازه ۰/۱٪ KOH ۲ تا ۳ دقیقه در آب جوش قرار داده شدند. شفاف شدن سوسپانسیون نشانه لیزشدن سلول‌های باکتری تلقی گردید. نمونه‌ها به مدت ۵ دقیقه با سرعت ۱۲۰۰۰ دور در دقیقه سانتریفیز شده و سپس لایه رویی به عنوان DNA از لوله‌ها برداشته و در دمای ۲۰°C نگهداری شدند. برای حصول اطمینان از وجود DNA خالص در نمونه‌های خالص‌سازی شده، ۵ میکرولیتر از DNA فوق همراه با یک میکرولیتر محلول برم فنول بلو در سوکروز روی

## جدول ۱. نام و توالی آغازگرهای استفاده شده در PCR

Table 1. Name and sequence of primers used in PCR.

Primers	آغازگر	توالی Sequence
REP	REP1-I	5'-III ICG ICG ICA TCI GGC-3'
	REP2-I	5'-ICG ICT TAT CIG GGC TAC-3'
ERIC	ERIC1R	5'-ATG TAAGCT CCT GGG GAT TCA-3'
	ERIC2	5'-AAG TAAGTG ACT GGG GTG AGC-3'

یک چرخه انتهایی به مدت ۱۰ دقیقه در دمای ۷۲°C مورد استفاده قرار گرفت. محصولات PCR در دمای ۴°C نگهداری شدند. از دستگاه ترموسایکلر (Personal termocycler, Eppendorf, Germany) ، جهت تکثیر خوش‌های نتایج به دست آمده از سه روش مذکور به صورت ترکیبی نیز انجام شد. برای به دست آوردن یک خوش‌بندی بهتر، کارایی روش‌های مختلف تجزیه کلاستر به کمک ضریب همبستگی کوفتیک (Fariis 1969) مورد ارزیابی قرار گرفت. در این ارزیابی ضریب کوفتیک میزان ضریب تشابه به دست آمده از طریق ضرایب جاکارد (Jaccard)، دایس (Dice) و سیمپل مچینگ (Simple maching) با استفاده از نرم‌افزار فوق الذکر محاسبه و با یکدیگر مقایسه شدند. ضریب کوفتیک بالاتر نشانگر مناسب‌تر بودن روش خوش‌بندی تلقی گردید (Sokal & Rohlf 1962 و 1973) و (Sneath & Sokal 1973).

یک چرخه انتهایی به مدت ۱۰ دقیقه در دمای ۷۲°C مورد استفاده قرار گرفت. محصولات PCR در دمای ۴°C نگهداری شدند. از دستگاه ترموسایکلر (Personal termocycler, Eppendorf, Germany) ، جهت تکثیر خوش‌بندی استفاده شد.

## الکتروفورز محصولات PCR

ژل آگارز ۱/۵ در صد در پس از تهیه سینی الکتروفورز ریخته شد. از بافر (TBE(1X) جهت الکتروفورز استفاده شد. پنج میکرولیتر از محصول PCR با ۲ میکرولیتر بافر مخلوط گردیده و هر نمونه در چاهک‌های جداگانه ریخته شد. و چاهک‌های انتهایی با ۴ میکرولیتر از مارکر DNA نیز بارگذاری شد. نمونه‌ها به مدت ۱/۵ ساعت در ولتاژ ثابت ۷۰ ولت الکتروفورز شدند. ژل سپس به مدت ۱۵ دقیقه در محلول اتیدیوم بروماید (یک میلی‌گرم در لیتر) رنگ‌آمیزی و بعد از شستشو با آب مقطر، در دستگاه ژل داکیومنت مشاهده و عکس‌برداری صورت گرفت.

نتایج  
جداسازی

در این بررسی ۷۰ جدایه از نمونه‌های آلوده شاخه و برگ درختان میوه هسته‌دار شامل هللو (۳۵ جدایه)، شلیل (۶ جدایه)، زردآلو (۱۴ جدایه)، آلو (۶ جدایه) و گیلاس (۹ جدایه) از مناطق مختلف استان‌های اردبیل، گیلان، مازندران و خراسان رضوی روی محیط آگار مغذی

## آنالیز داده‌ها و رسم درخت فیلوژنی

بعد از به دست آمدن انگشت‌نگاری ژنومی ERIC-PCR و REP-PCR براساس وجود و یا عدم وجود باند، نمره‌دهی به صورت کدهای صفر و یک انجام شد و داده‌های به دست آمده به صورت ماتریکس در نرم‌افزار Excel وارد شدند و درخت فیلوژنی با استفاده از نرم‌افزار ان‌تی‌سیس، نسخه

جدایه‌های مورد بررسی به عنوان جدایه‌های *Schaad et al. Pseudomonas syringae* pv. *syringae* (al. 2001) شناسایی شدند.

جداسازی گردید. مشخصات مربوط به جدایه‌ها در جدول ۲ آورده شده است.

### خصوصیات فنوتیپی جدایه‌ها

#### بیماری زایی

علائم بیماری بعد از یک هفته از تزریق سوسپانسیون مربوط به ۷۰ جدایه به پشت برگ‌ها، شاخه‌ها و سرشاخه‌های جوان در نهال‌های هلو و زردآلوی مایه‌زنی شده ظاهر گردید. در نهال‌های شاهد که با آب مقطر ستون شده بودند، علائمی ظاهر نشد. روی برگ‌ها مایه‌زنی شده بودند، علائمی مشاهده شد که این لکه‌ها بتدریج از لکه‌های آبسوخته مشاهده شد که در روی شاخه‌ها و قسمت وسط نکروز شدند. و در روی شاخه‌ها و سرشاخه‌ها نیز بعد از گذشت تقریباً ۹ روز زخم‌های سیاه فرورفته مشاهده شد که در برخی از این زخم‌ها ترشح صمع نیز دیده شد. جدایه‌های باکتری دوباره از لکه‌ها و شانکرها جداسازی گردیدند (شکل ۱).

#### الکتروفورز پروتئین

در مقایسه نقوش پروتئین‌های سلولی جدایه‌های *Pss* مناطق مختلف، شباهت‌های بالایی را به یکدیگر و به جدایه استاندارد نشان دادند. نقوش پروتئینی جدایه‌های به دست آمده از میزان‌های مختلف نیز مشابه بود (شکل ۲).

#### تجزیه و تحلیل داده‌های حاصل از REP-PCR

پس از استخراج DNA از جدایه‌ها و نیز غلظت‌سنجی آن با روش‌های الکتروفورز ژل آگارز و دستگاه اسپکتروفوتومتر، DNA به دست آمده از جدایه‌های مختلف جهت استفاده در واکنش زنجیره‌ای پلیمراز مورد استفاده قرار گرفت. اثر انگشت ژنتیکی DNA ژنومی حاصل از

پرگنه جدایه‌ها روی محیط آکار مغذی مدور، به رنگ کرم مایل به زرد، لرج و برآمده و روی محیط YDC کرم‌رنگ و غیر لرج بود. حاشیه پرگنه در برخی از جدایه‌ها صاف و در برخی نیز کمی موج دار بود. جدایه‌ها بعد از ۴۸ ساعت کشت روی محیط KB تولید رنگدانه فلورسنت کردند. آزمون گرم در همه جدایه‌ها منفی بود. تمامی جدایه‌ها قادر به ایجاد واکنش فوق حساسیت روی برگ توتون بودند. جدایه‌ها هوازی اجباری بوده و تولید لوان، کاتالاز، هیدرولیز ژلاتین و اسکولین در همه آنها مثبت بود. تولید اکسیداز، اوره آز، آرژنین دهیدرولاز، هیدرولیز کازوئین شیر، احیای نیترات، تولید ایندول و لهانیدن ورقه‌های سیب‌زمینی در همه جدایه‌ها منفی بود.

جدایه‌ها قادر به تولید H<sub>2</sub>S از پپتون، گاز از گلوكز و لیسیتیناز و رشد در دماهای بیشتر از ۳۷°C نبودند. قابلیت هیدرولیز تؤین ۸۰ در بین جدایه‌ها متغیر و هیدرولیز نشاسته در همه جدایه‌ها منفی بود. جدایه‌ها توانایی تحمل نمک‌طعم ۵ درصد را داشتند ولی نتوانستند روی محیط نمک‌طعم ۶ درصد نمک‌طعم رشد کنند. جدایه‌ها قادر به تولید اسید از گلوكز، فروکتوز، سوربیتول، مانوز، گالاكتوز، سوکروز، آرابینوز، مالتوز، اینوزیتول، مانیتول، اینوزیتول، گلیسرول، رافینوز و اریتریتول بودند ولی هیچ یک از جدایه‌ها نتوانستند از لاکتوز، تری‌هالوز، رامنوز، سلوبیوز و ادونیتول اسید تولید نمایند. همچنین جدایه‌ها قادر به استفاده از تریپتوفان، ال‌تیروزین، دی‌تارتارات، ال‌تارتارات و ال‌آلانین نبودند. همه جدایه‌ها قابلیت قلیایی کردن شیر را داشتند. براساس نتایج آزمون‌های فنوتیپی تمامی

جدول ۲. مشخصات جدایه‌های *Pseudomonas syringae* pv. *syringae* بدست آمده از درختان میوه هسته‌دار استان‌های اردبیل، گیلان، مازندران و خراسان رضوی

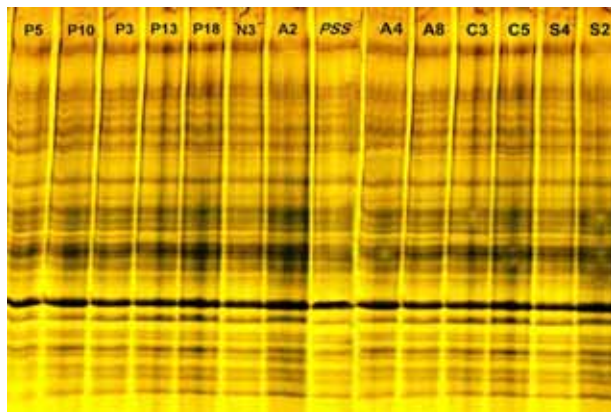
**Table 1. List of *Pseudomonas syringae* pv. *syringae* isolates recovered from stone fruit trees in Ardebil, Guilan, Mazandaran and Khorasan-Razavi provinces.**

شماره جدایه (Strain)	محل جمع‌آوری (Origine)	میزبان (Host)
P10 تا P1	اردبیل-مشکین شهر (Ardebil-Meshkinshahr)	هلو (Peach)
P25 تا P11	اردبیل-کشت و صنعت مغان (Ardebil-Moghan)	
P29 تا P26	مازندران-ساری (Mazandaran-Sari)	
P32 تا P30	مازندران-نکا (Mazandaran-Neka)	
P35 تا P33	خراسان رضوی-سبزوار (Khorasan-sabzevar)	
N4 تا N1	اردبیل-کشت و صنعت مغان (Ardebil- Moghan)	شلیل (Nectarine)
N6 و N5	مازندران-ساری (Mazandaran-Sari)	
A8 تا A1	اردبیل-مشکین شهر (Ardebil-Meshkinshahr)	زردآلو (Apricot)
A11 تا A9	خراسان رضوی-سبزوار (Khorasan-sabzevar)	
A14 تا A12	خراسان رضوی-نیشابور (Khorasan-Neishaboor)	
C3 و C1	اردبیل-مشکین شهر (Ardebil-Meshkinshahr)	گیلاس (Sweet cherry)
C6 تا C4	گیلان-تالش (Guilan-Talesh)	
C9 تا C7	گیلان-آستارا (Guilan-Astara)	
S3 تا S1	گیلان-تالش (Guilan-Talesh)	آلوا (Plum)
S5 و S4	گیلان-اسالم (Guilan-Asalem)	
S6	گیلان-آستارا (Guilan-Astara)	



شکل ۱. نتایج آزمون بیماری‌زایی روی نهال هلو. علائم شانکر روی شاخه همراه با ترشح صمغ (شکل سمت راست)، علامت لکه آبسونه روی برگ (شکل سمت چپ)

**Fig.1. The results of pathogenicity test on peach plant, symptoms of canker on shoot with gum exudation (right), leaf spot symptoms (left).**



شکل ۲. نقوش الکتروفورزی پروتئین‌های سلولی جدایه‌های *Pseudomonas syringae* pv. *syringae* عامل شانکر از مناطق مختلف استان‌های اردبیل (P5، P10، P13، P18، N3، A2، A4، A8، C3)، گیلان (C5، S4 و S2) در ژل پلی‌اکریلامید؛ Pss: جدایه استاندارد (جدایه به دست آمده از هلو، کد ۱۴۱-برزیل)

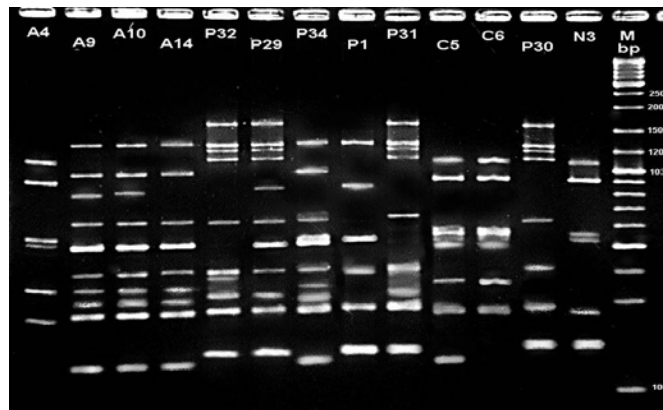
**Fig.2. Electrophoretic profiles of cell protein of *Pseudomonas syringae* pv. *syringae* isolated from different parts of Ardebil (P5, P10, P13, P18, N3, A2, A4, A8, C3), Guilan (C5, S4, S2) provinces, Pss: standard strain isolated from peach in Brazil, No;141.**

بین ۶ تا ۱۲ باند با اندازه تقریبی ۱۰۰ تا ۲۰۰۰ bp بود. آنالیز خوش‌های نتایج به دست آمده با آغازگرهای ERIC1R و ERIC2 نشان داد که در سطح تشابه ۶۰ درصد، جدایه‌ها به دو گروه تقسیم می‌شوند. جدایه‌های به دست آمده از استان‌های مازندران و خراسان رضوی به علاوه ۳ جدایه از استان اردبیل و ۲ جدایه از گیلان در یک گروه و بقیه جدایه‌های مربوط به استان‌های اردبیل و گیلان در گروه دیگر قرار گرفتند. در سطح تشابه ۷۵ درصد جدایه‌ها به ۸ گروه قابل تمایز بودند(شکل ۴).

اثر انگشت ژنومی حاصل از تکثیر DNA جدایه‌های REP به دست آمده از استان‌های مختلف با روش Pss در شکل ۵ نشان داده شده است. تعداد باندهای تکثیر شده بین ۴ تا ۱۵ باند و محدوده اندازه باندها بین ۱۵۰ تا ۴۰۰۰ bp بود. آنالیز خوش‌های نتایج به دست آمده با آغازگرهای REP1R و REP2 نشان داد که جدایه‌های مورد مطالعه با ۶۲ درصد تشابه در دو گروه قرار می‌گیرند که یک گروه شامل تمامی جدایه‌های به دست آمده از

دو روش REP-PCR و ERIC مربوط به جدایه‌های مختلف به دست آمد. آنالیز خوش‌های داده‌های به دست آمده، به روش UPGMA انجام شد. ضریب همبستگی کوفتیک میزان تشابه به دست آمده از طریق ضرایب جاکارد، دایس و سیمپل مچینگ برای آغازگر ERIC به ترتیب ۰/۹۱، ۰/۸۸، ۰/۸۷ و برای آغازگر REP به ترتیب ۰/۸۶، ۰/۸۷، ۰/۸۹ نسبت به دو ضریب دیگر از ضریب همبستگی کوفتیک بالاتری برخوردار بود بنابراین برای خوش‌بندی بهتر و تعیین میزان تشابه بین جدایه‌ها، از این روش استفاده شد. آنالیز خوش‌های داده‌های حاصل از هر دو روش مذکور به صورت ترکیبی نیز انجام شد و دندروگرام به دست آمده از ترکیب داده‌های حاصل از REP و ERIC-PCR ترسیم گردید و ضریب کوفتیک آن ۰/۹۳ محاسبه شد.

ژنومی هریک از جدایه‌های Pss به دست آمده از درختان میوه هسته‌دار با روش ERIC-PCR تکثیر گردید (شکل ۳). تعداد باندهای تکثیر شده با این روش



شکل ۳. اثر انگشت ژنتیکی DNA ژنومی جدایه‌های *Pseudomonas syringae* pv. *syringae* به دست آمده از درختان میوه هسته‌دار استان‌های اردبیل (A1)، گیلان (N3)، مازندران (P1، C5، C6)، خراسان رضوی (A9، A10، A14، P32، P29، P31، P30) و خراسان رضوی (P34) حاصل از ERIC-PCR با آغازگرهای ERIC1R و ERIC2 در ژل آگارز ۱/۵ درصد (نام جدایه‌ها همراه با ۱۰۰ bp (M) باز شرکت Fermentas Plus DNA-Ladder) در بالای شکل گنجانده شده است)

**Fig. 3.** Genomic fingerprints of *Pseudomonas syringae* pv. *syringae* isolates generated from ERIC-PCR with primers ERIC1R & ERIC2 in 1.5% agarose gel. Isolates recovered from Ardebil (A1, P1, N3), Guilan (C5, C6), Mazandaran (P32, P29, P31, P30) and Khorasan-e-Razavi (A9, A10, A14, P34). M: Marker(100-bp ladder, Fermentas).

گروه تقسیم شدن. در سطح تشابه ۷۵ درصد جدایه‌ها به ۹ گروه قابل تمایز بودند.

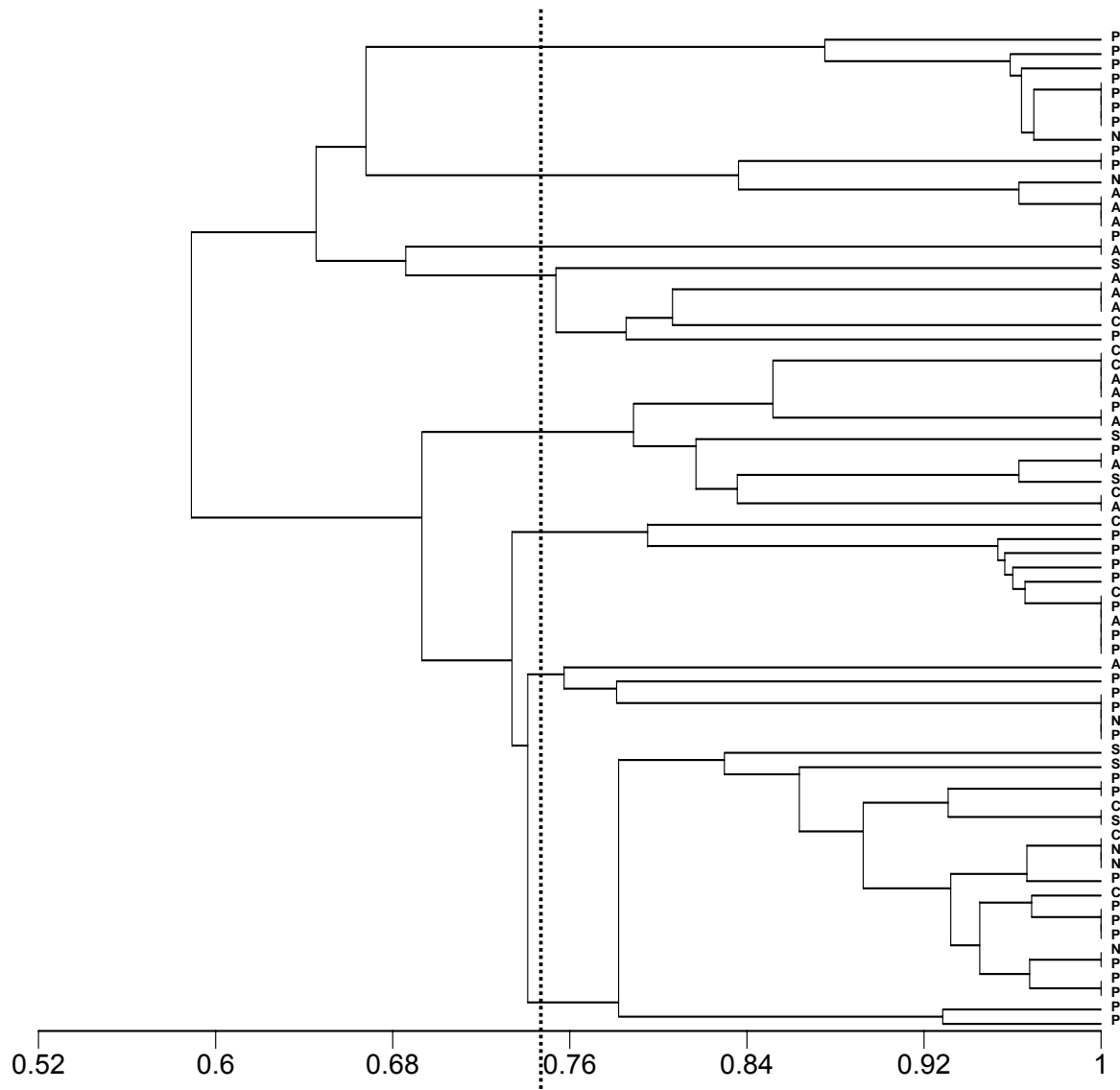
### بحث

خصوصیات مورفولوژیکی، فیزیولوژیکی و بیوشیمیایی جدایه‌های مورد مطالعه با خصوصیات پاتووار *Pseudomonas syringae* pv. *syringae* مطابقت داشت (Palleroni 1984). بنابراین همه جدایه‌های به دست آمده در این تحقیق به عنوان *Pss* شناسایی شدند. Rahimian et al. 2004 ( Rahimian et al. 2004) شانکر باکتریایی ناشی از *Pss* را یک بیماری مهم با گسترش وسیع روی درختان هلو و شلیل در مناطق مازندران و گرگان عنوان نموده است. نتایج به دست آمده نشان داد که واکنش تمامی جدایه‌های مورد مطالعه در آزمون‌های مختلف بیوشیمیایی و تغذیه‌ای مشابه یکدیگر بودند. مطالعات محققین قبلی نیز حاکی از تشابه زیاد بین

مناطق مختلف استان‌های مازندران و خراسان رضوی به علاوه ۳ جدایه از استان اردبیل و ۳ جدایه از استان گیلان بود. بقیه جدایه‌ها در گروه دوم قرار گرفتند (شکل ۶). در سطح تشابه ۷۵ درصد نیز، جدایه‌ها به ۵ گروه قابل تمایز بودند.

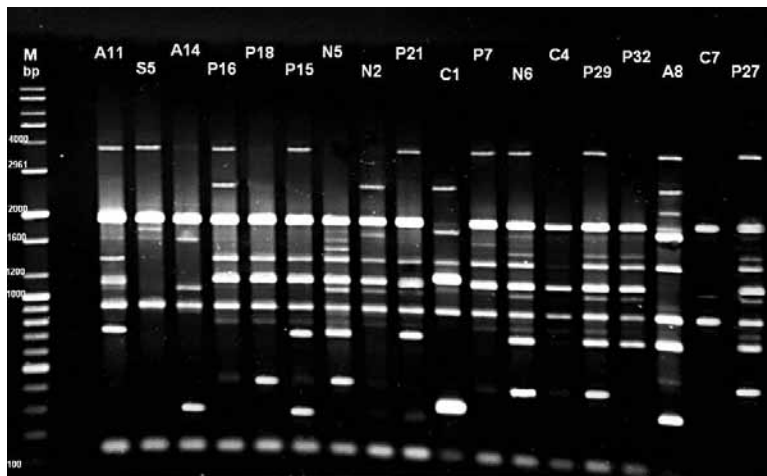
### آنالیز ترکیبی داده‌های حاصل از دو روش ERIC و REP-PCR

نتایج تجزیه و تحلیل خوشه‌ای داده‌های حاصل از چهار آغازگر REP1R، ERIC2، ERIC1R و REP2 به صورت مرکب نشان داد که جدایه‌های مورد مطالعه، با ۶۵ درصد تشابه در دو گروه قرار می‌گیرند که گروه اول شامل تمامی جدایه‌هایی به دست آمده از مازندران و خراسان رضوی به اضافه ۳ جدایه از گیلان و یک جدایه از اردبیل بود و بقیه جدایه‌ها در گروه دوم قرار گرفتند (شکل ۷). هر دو گروه در سطح تشابه ۶۵ درصد به دو



شکل ۴. دندروگرام مربوط به ارتباط ژنتیکی میان ۷۰ جدایه *Pseudomonas syringae* pv. *syringae* بدست آمده از درختان میوه هسته‌دار از استان‌های اردبیل، گیلان، مازندران و خراسان رضوی براساس نقوش قطعات حاصل از ERIC-PCR در ژل آگارز، تشابه جدایه‌ها براساس ضریب جاکارد محاسبه و دندروگرام به روشن UPGMA ترسیم شده است. (کد جدایه‌ها در سمت راست شکل گنجانده شده است، A: جدایه‌های زردآلوی اردبیل، مازندران و خراسان رضوی؛ P: جدایه‌های هلیوی اردبیل، مازندران و خراسان رضوی؛ N: جدایه‌های شلیل اردبیل و مازندران؛ C: جدایه‌های گیلاس اردبیل و گیلان؛ S: جدایه‌های آلوی گیلان)

**Fig. 4.** Dendrogram of genetic relatedness of the ERIC-PCR fingerprint patterns generated by 70 strains of *P. syringae* pv. *syringae* recovered stone fruit trees of Ardebil, Guilan, Mazandaran and Khorasane-Razavi. Cluster analysis was performed by using the Jaccard similarity coefficient and the UPGMA algorithm. A: apricot isolates of Ardebil, Mazandaran & Khorasan-e-Razavi, P: peach isolates of Ardebil, Mazandaran & Khorasane-Razavi, N: nectarine isolates of Ardebil & Mazandaran, C: sweet cherry of Ardebil & Guilan, S: plum isolates of Guilan.



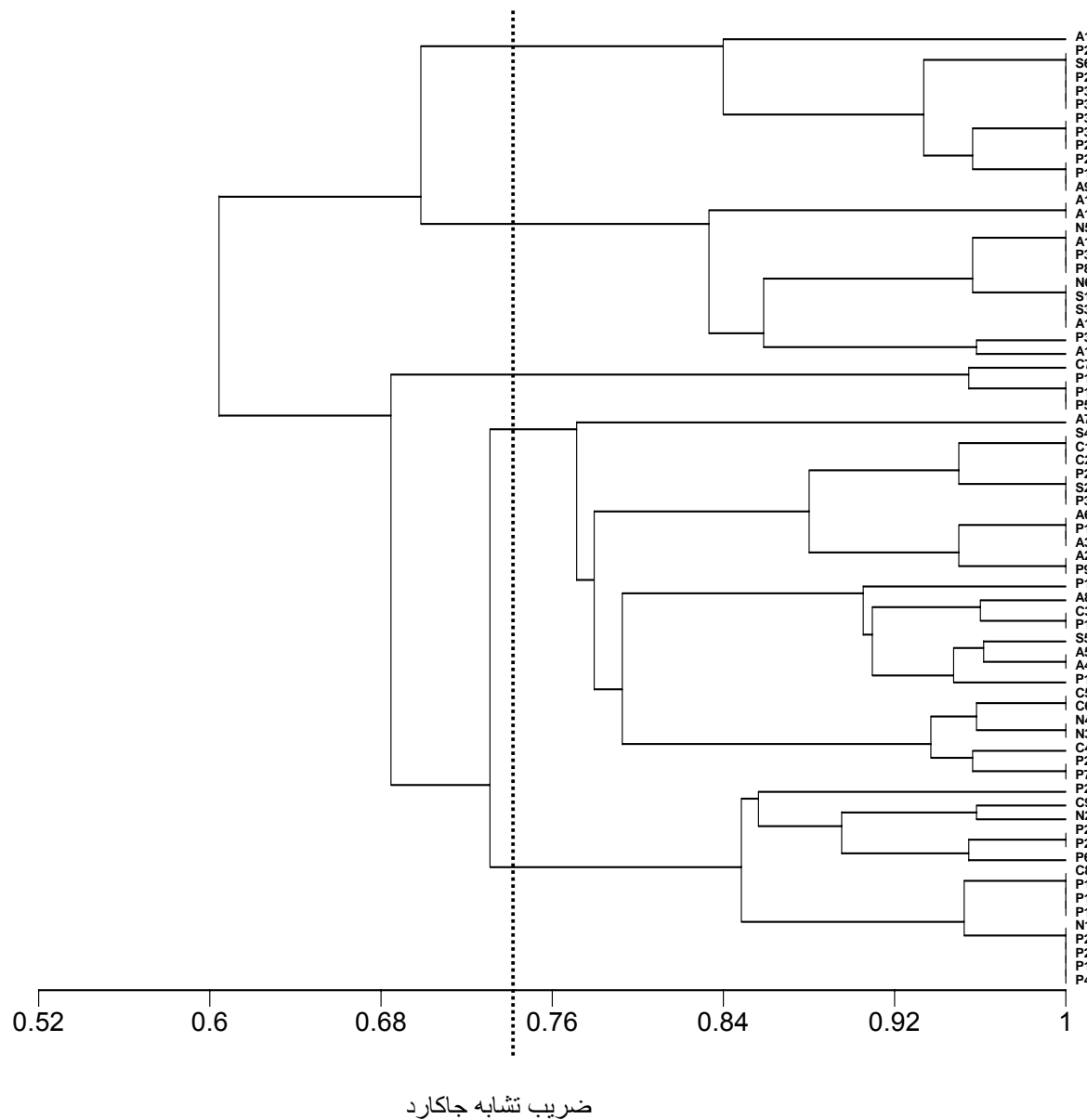
شکل ۵. اثر انگشت ژنتیکی DNA ژنومی حاصل از REP-PCR جدایه‌های *Pseudomonas syringae* pv. *syringae* به دست آمده از استان‌های اردبیل (P16, P18, P15, N2, P21, C1, P7, A8), گیلان (S5, C4, C7), مازندران (N5, N6, P29, P32) و خراسان رضوی (A11, A14) با آغازگرهای REP1R و REP2 در ژل آگارز ۱/۵ درصد (نام جدایه‌ها همراه با M: استاندارد جرم مولکولی (100bp DNA-Ladder) از شرکت Fermentase در بالای شکل گنجانده شده است)

Fig. 5. Genomic fingerprints of *Pseudomonas syringae* pv. *syringae* isolates generated from REP-PCR with primers REP1R & REP2 in 1.5% agarose gel. Isolates recovered from Ardebil (P16, P18, P15, N2, P21, C1, P7, A8), Guilan (S5, C4, C7), Mazandaran (N5, N6, P29, P32) and Khorasan-e Razavi (A11, A14). M: Marker, (100-bp ladder, Fermentas).

روش‌های مبتنی بر PCR نیاز به وقت کمتری دارند و ثبات و کارایی آنها بیشتر است و برای تعیین روابط فیلوجنتیکی بین جدایه‌های میکروبی واقع در یک گروه بسیار مفید هستند.

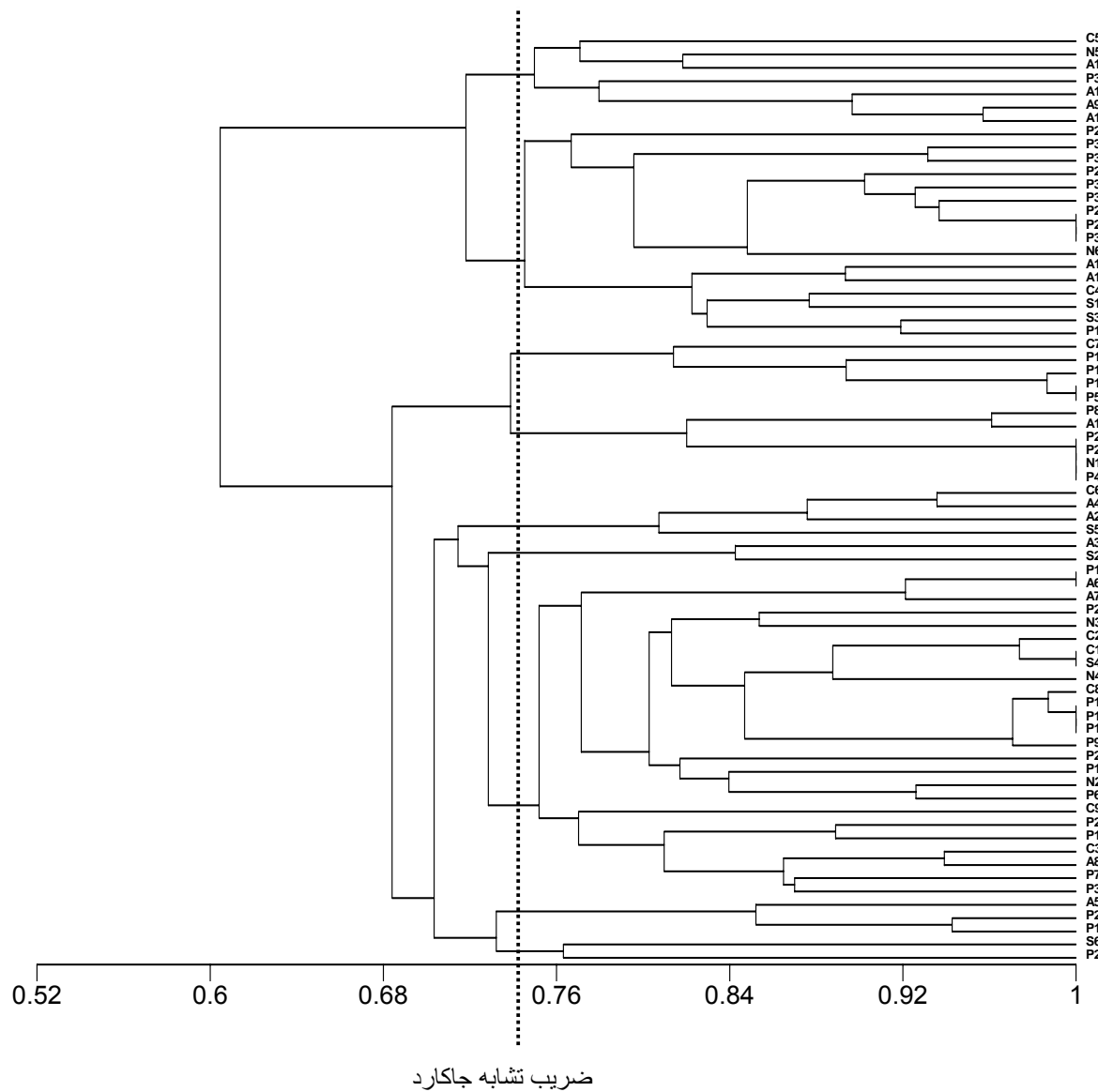
در این بررسی پس از انجام PCR با روش‌های ERIC و REP-PCR اثر انگشت ژنتیکی جدایه‌ها به دست آمد. آنالیز خوش‌های داده‌های حاصل از روش‌های فوق با استفاده از روش UPGMA و ضریب تشابه جاکارد نشان داد که جدایه‌های *Pss* به دست آمده از مناطق مختلف استان‌های اردبیل، گیلان، مازندران و خراسان‌رضوی دارای تنوع ژنتیکی هستند. هم‌چنین دندروگرام حاصل از نتایج REP-PCR و ERIC نشان داد که جدایه‌های جمع‌آوری شده از استان‌های مازندران و خراسان رضوی در گروه جدایه‌های از جدایه‌های مربوط به استان‌های اردبیل و گیلان قرار گرفتند. در این بررسی

جدایه‌های مختلف *Pss* از لحاظ خصوصیات فنوتیپی می‌باشد (Aldaghi et al. 2009). در بین جدایه‌ها از لحاظ الگوی پروتئینی تفاوت جزئی و فقط در چند باند سبک وجود داشت. با این وجود الگوی پروتئین‌های سلولی تعداد زیادی از جدایه‌ها بسیار مشابه بود. شباهت الگوی پروتئینی جدایه‌های مختلف درختان میوه هسته‌دار در بررسی‌های قبلی نیز گزارش شده است (Banapoor et al. 1990, Aldaghi et al. 2000, 2009) به نظر می‌رسد روش مذکور کارایی مناسبی در تمایز جدایه‌های مختلف *Pss* عامل شانکر درختان میوه هسته‌دار نداشته باشد. بنابراین نیاز به ارزیابی و معرفی روش‌های تشخیص به منظور گروه‌بندی دقیق باکتری‌های بیمارگر گیاهی براساس رهیافت‌های مبتنی بر اثر انگشت ژنتیکی وجود دارد (Louws et al. 1999). دی‌برئین و همکاران (de Bruijn et al. 1996) نشان دادند که



شکل ۶. دندروگرام مربوط به ارتباط ژنتیکی میان جدایه‌های *Pseudomonas syringae* pv. *syringae* بدست آمده از درختان میوه هسته‌دار مبتلا به شانکر باکتریایی از استان‌های اردبیل، گیلان، مازندران و خراسان رضوی براساس نقوش قطعات حاصل از -PCR در ژل آگارز، تشابه جدایه‌ها براساس ضریب جاکارد محاسبه و دندروگرام به روش UPGMA ترسیم شده است. (کد جدایه‌ها در سمت راست شکل گنجانده شده است، A: جدایه‌های زردآلوی اردبیل، مازندران و خراسان رضوی؛ P: جدایه‌های هلوی اردبیل، مازندران و خراسان رضوی؛ N: جدایه‌های شلیل اردبیل و مازندران؛ C: جدایه‌های گیلاس اردبیل و گیلان؛ S: جدایه‌های آلوی گیلان)

Fig. 6. Dendrogram of genetic relatedness of the REP-PCR fingerprint patterns generated by 70 strains of *P.syringae* pv. *syringae* recovered stone fruit trees of Ardebil, Guilan, Mazandaran and Khorasan-Razavi. Cluster analysis was performed by using the Jaccard similarity coefficient and The UPGMA algorithm. A: apricot isolates of Ardebil, Mazandaran & Khorasan Rzavi, P: peach isolates of Ardebil, Mazandaran & Khorasan-e-Razavi, N: nectarine isolates of Ardebil & Mazandaran, C: sweet cherry of Ardebil & Guilan, S: plum isolates of Guilan.



شکل ۷. دندروگرام مربوط به ارتباط ژنتیکی میان جدایه‌های *Pseudomonas syringae* pv. *syringae* بدست آمده از درختان میوه هسته‌دار مبتلا به شانکر باکتریایی از استان‌های اردبیل، گیلان، مازندران و خراسان رضوی بواسطه نقوش قطعات حاصل از ERIC و REP-PCR در ژل آگارز، تشابه جدایه‌ها براساس ضریب جاکارد محاسبه و دندروگرام به روش UPGMA ترسیم شده است. (A: جدایه‌های زردآلوی اردبیل، مازندران و خراسان رضوی؛ P: جدایه‌های گلابی اردبیل و گیلان؛ C: جدایه‌های آلوی گیلان؛ N: جدایه‌های شلیل اردبیل و مازندران؛ S: جدایه‌های گیلاس اردبیل و گیلان)

**Fig. 7.** Dendrogram of genetic relatedness of 70 strains of *P. syringae* pv. *syringae* recovered stone fruit trees of Ardebil, Guilan, Mazandaran and Khorasan-e-Razavi. The similarity is the result of the combined data set of ERIC and REP -PCR using UPGMA analysis and Jaccard's coefficient. A: apricot isolates of Ardebil, Mazandaran & Khorasan-e-Razavi, P: peach isolates of Ardebil, Mazandaran & Khorasan-e-Razavi, N: nectarine isolates of Ardebil & Mazandaran, C: sweet cherry of Ardebil & Guilan, S: plum isolates of Guilan.

در بررسی‌های نجفی پور و تقیوی روی ۵۸ جدایه Pss به دست آمده از میزبان‌های مختلف از جمله درختان میوه هسته‌دار و دانه‌دار، گیاهان زیستی (گل سرخ و شمعدانی)، چند گونه از غلات و گونه‌های دولپه‌ای، مشخص گردید که جدایه‌های Pss براساس انگشت‌نگاری ژنتیکی با Box-PCR در سه گروه مختلف قرار می‌گیرند (Najafi Pour & Taghavi 2011). گروه یک آنها شامل اکثر جدایه‌های درختان میوه هسته‌دار بود که علی‌رغم قرار گرفتن در یک گروه تفاوت‌هایی را داشته و کاملاً یکسان نبودند. در بین آنها جدایه‌هایی از Malva sp. شمعدانی و گل سرخ نیز وجود داشت. جدایه‌هایی به دست آمده از درختان میوه دانه‌دار به همراه تعداد کمی از جدایه‌های دیگر از جمله معدودی از درختان میوه هسته‌دار و جدایه استاندارد پاتوار Pss در گروه دیگر و جدایه‌های به دست آمده از غلات و تعداد کمی جدایه دیگر (از جمله جدایه‌ای از هل و چغندر) در گروه سوم جای گرفتند. در دندروگرام ترسیمی تنوع بین جدایه‌های هر گروه نیز وجود داشت، هرچند تأکید عمده روی سه گروه اصلی، درختان میوه هسته‌دار، دانه‌دار و غلات بود (Najafi Pour & Taghavi 2011).

در مطالعات انجام شده توسط اللاغی و همکاران (Aldaghi et al. 2009) تفاوت‌های سرولوژیکی متمایز‌کننده جدایه‌های مولد شانکر درختان میوه هسته‌دار از جدایه‌های ایجاد‌کننده بلاست غلات بوده و نتایج بدست آمده از مقایسه ایزوژیم هایی مانند سوپراکسید دیسموتاز و استراز نیز قابلیت تفکیک این دو گروه جدایه را داشتند. ولی تفاوت قابل توجهی میان جدایه‌های دو گروه مشهود نبود. نتایج مطالعات انجام شده می‌تواند نشانگر این باشد که جدایه‌های مختلف Pss به صورت ژنتیکی با یک میزبان خاص سازگار شده‌اند (Najafipour et al. 2011) و

مشخص شد که اثر انگشت ژنتیکی DNA ژنومی جدایه‌ها با روش rep-PCR می‌تواند به عنوان روشی کارا و مفید Pss جهت ارزیابی تنوع ژنتیکی جدایه‌های مختلف درختان میوه هسته‌دار و حتی سایر میزبان‌ها مورد استفاده قرار گیرد. کارایی روش rep-PCR در تمایز ساختن جدایه‌های مختلف Pss از لحاظ ژنتیکی در مطالعات قبلی نیز گزارش شده است (Mosivand et al. 2009). مقایسه الگوی اثر انگشت ژنتیکی DNA ژنومی جدایه‌های Pss درختان میوه هسته‌دار با هر سه آغازگر نشان داد که جدایه‌های Pss هسته‌داران در استان‌های مذکور متنوع می‌باشند. وجود تنوع ژنتیکی در بین جدایه‌های مختلف Pss درختان میوه هسته‌دار با جدایه‌های به دست آمده از سایر میزبان‌ها در بررسی‌های قبلی نیز گزارش شده است (Aldaghi et al. 2002, 2009, Mosivand et al. 2009)

(Najafipour and Taghavi 2011).

یکی از دلایل تنوع بالا بین جدایه‌های Pss به دست آمده از درختان میوه هسته‌دار احتمالاً به دلیل سابقه طولانی کشت این درختان در استان‌های یاد شده می‌باشد بطوریکه احتمالاً میکروفلور همراه، با گذشت زمان با میزبان‌های مختلف سازگار شده‌اند. دندروگرام ترسیم شده براساس ترکیب داده‌های حاصل از ERIC و REP-PCR بهتر از دندروگرام‌های مربوط به هریک از آنها به تنها، ارزیابی شد. به طوری که ضریب کوفتیک REP و ERIC به ترتیب ۰/۹۳ و ۰/۸۹ بود. رادمارکر و همکاران (Rademaker et al. 2000) نیز پیشنهاد کردند که برای یک خوشبندی با ثبات، بهتر است داده‌ها با هم ترکیب شوند. موسیوند و همکاران نیز برای به دست آوردن یک خوشبندی بهتر از آنالیز ترکیبی داده‌های حاصل از آغازگرها استفاده کردند (Mosivand et al. 2009).

جدایه‌های مختلف پاتووار *Pss*, حتی جدایه‌هایی را که ارتباط ژنتیکی نزدیکی با هم دارند، از یکدیگر متمایز نماید (De Bruijn 1992, Lilley *et al.* 1996). نتایج به دست آمده از ارزیابی تنوع می‌تواند در استراتژی مدیریت بیماری و مطالعات اکولوژیکی و اپیدمیولوژیکی قابل استفاده باشد (Louws *et al.* 1999).

#### منابع

جهت ملاحظه به صفحات (133-135) متن انگلیسی مراجعه شود.

تنوع در میان جدایه‌های مختلف این پاتووار به دلیل گستردگی بودن دامنه میزانی آن به مراتب بیشتر از سایر پاتووارهای گونه *Pseudomonas syringae* می‌باشد (Roos & Hattingh 1987). نتایج این بررسی نشان داد که جدایه‌های *Pss* مورد مطالعه، دارای خصوصیات فنوتیپی مشابهی بودند لذا این خصوصیات توانست تنوع جدایه‌ها را به خوبی نشان دهد قبل از نتیجه‌ای به دست آمده بوده است (Hirano & Upper 2000). با توجه به اینکه روش rep-PCR توانست تنوع جدایه‌های مختلف *Pss* را منعکس کند این روش به عنوان یک روش مولکولی سریع و مفید می‌تواند